

УДК 548.736

**УТОЧНЕНИЕ И КРИСТАЛЛОГРАФИЧЕСКИЙ АНАЛИЗ СТРУКТУРЫ
Sb-СОДЕРЖАЩЕГО ЛАФФИТТИТА AgHg(As,Sb)S_3 ИЗ ЧАУВАЯ (КИРГИЗИЯ)**

© 2010 Н.В. Первухина^{1*}, С.В. Борисов¹, С.А. Магарилл¹, В.И. Васильев², Н.В. Курачева¹

¹Учреждение Российской академии наук Институт неорганической химии им. А.В. Николаева СО РАН, Новосибирск

²Учреждение Российской академии наук Институт геологии и минералогии им. В.С. Соболева СО РАН, Новосибирск

Статья поступила 18 июня 2009 г.

Проведено уточнение кристаллической структуры минерала лаффитита AgHg(As,Sb)S_3 из месторождения Чаувай (Киргизия), содержавшего около 10 % атомов Sb в позиции As^{3+} (пр. гр. Aa , $a = 7,7560(3)$, $b = 11,3340(4)$, $c = 6,6650(3)$ Å, $\beta = 115,233(4)^\circ$, $V = 529,99(4)$ Å³, $d = 6,078$ г/см³, $Z = 4$, $R = 0,0229$). Кристаллографическим анализом показано наличие в структуре весьма регулярных катионных и анионных кубических гранецентрированных подрешеток, подтверждающих принадлежность структуры к структурному типу PbS. Отклонение от присущей этому типу октаэдрической координации катионов связано в основном с асимметричным взаимным смещением катионных и анионных матриц.

Ключевые слова: Sb-лаффитит, сульфосоли, структурный тип PbS, кристаллография катионных и анионных матриц.

Природная сульфосоль минерал лаффитит AgHgAsS_3 [1], впервые найденный в 1974 г. в Высоких Альпах, был обнаружен также в ассоциации с гетчеллитом (месторождение Гетчелл, Невада) и структурно изучен на природных и синтетических образцах [2]. В [1] минерал был охарактеризован как моноклинный, псевдоромбический с симметрией $B2_1/c$, $a = 11,484$, $b = 14,020$, $c = 6,388$ Å, $\beta = 90,0^\circ$, $Z = 8$, а в [2] — как моноклинный Aa , $a = 7,732$, $b = 11,285$, $c = 6,643$ Å, $\beta = 115,16^\circ$, $Z = 4$ без объяснения расхождений с предыдущей информацией. Анализ дифракционной картины лаффитита установил наличие в структуре гранецентрированной псевдокубической подрешетки, что подтвердилось в процессе определения структуры и дало основание причислить ее к структурному типу PbS [2].

В 1986 г. было сообщено о находке лаффитита в месторождении Чаувай (Южная Киргизия) [3], причем в составе указано на присутствие сурьмы — около 6 ат.% в позиции мышьяка. Порошкограмма образца была индицирована в параметрах моноклинной псевдоромбической элементарной ячейки в соответствии с [1].

Имеющиеся у нас образцы лаффитита из месторождения Чаувай позволили уточнить его состав и кристаллическую структуру на современном методическом уровне.

ЭКСПЕРИМЕНТАЛЬНАЯ ЧАСТЬ

С помощью микрозонда JXA-8100 при ускоряющем напряжении 20 кВ определен состав лаффитита. В качестве эталонов использовали синтетические: красная HgS (SK_α , HgM_α), CuSbS_2 (SbL_α), Ag_3SbS_3 (AgL_α), CsI (AsK_α). Эмпирическая формула лаффитита рассчитана на

* E-mail: pervukh@niic.nsc.ru

основе шести микрозондовых анализов при $Z = 4$: $\text{Hg}_{1,07}\text{Ag}_{1,15}(\text{As}_{0,972}\text{Sb}_{0,128})_{1,1}\text{S}_3$. В табл. 1 приведены результаты анализов состава минерала.

Рентгеноструктурный анализ соединения проводился на автоматическом дифрактометре Bruker Nonius X8 Apex с 4K CCD детектором [4]. Дифракционные данные получены по стандартной методике при 293 K (MoK_α , $\lambda = 0,71073 \text{ \AA}$, графитовый монокроматор, ф-сканирование). Поглощение учтено полуэмпирически, опираясь на интенсивности эквивалентных рефлексов. Структура соединения расшифрована прямым методом [5] и уточнена полноматричным МНК по F^2 в анизотропном приближении с использованием комплекса программ SHELX-97 [6]. Кристаллографические данные и детали дифракционного эксперимента приведены в табл. 2, окончательные координаты атомов и основные длины связей и валентные углы — в табл. 3 и 4 соответственно.

ОПИСАНИЕ СТРУКТУРЫ И ОБСУЖДЕНИЕ РЕЗУЛЬТАТОВ

Фрагмент структуры лаффитита на плоскости (001) показан на рис. 1. Координационное окружение атомов Ag, Hg и As в структуре лаффитита характерно для структур известных

Таблица 1

Микрозондовые анализы лаффитита (мас. %)

Элемент	I	II	III	IV	V	VI	Среднее
Hg	40,70	39,71	41,12	41,33	41,09	41,13	40,85
Ag	22,88	23,37	23,82	23,39	23,39	24,41	23,54
As	13,26	14,12	13,43	13,95	13,65	14,47	13,81
Sb	3,48	3,27	3,49	2,77	3,08	1,68	2,96
S	17,89	18,10	18,39	18,35	17,98	18,43	18,19
Σ	98,21	98,57	100,25	99,79	99,19	100,12	99,35

Таблица 2

Кристаллографические данные и условия дифракционного эксперимента для лаффитита

Формула соединения	AgAs _{0,88} HgS ₃ Sb _{0,12}
Молекулярный вес	484,95
Сингония	Моноклинная
Пространственная группа	<i>Aa</i>
<i>a</i> , <i>b</i> , <i>c</i> , Å	7,7560(3), 11,3340(4), 6,6650(3)
β, град.	115,233(4)
<i>V</i> , Å ³	529,99(4)
<i>Z</i>	4
<i>d</i> _{выч} , Г/см ³	6,078
μ, мм ⁻¹	39,693
<i>F</i> (000)	840
Размер кристалла, мм	0,05×0,04×0,04
Диапазон сбора данных по θ, град.	3,60—36,34
Диапазон <i>h</i> , <i>k</i> , <i>l</i>	-12 ≤ <i>h</i> ≤ 9, -16 ≤ <i>k</i> ≤ 18, -11 ≤ <i>l</i> ≤ 9
Число измер. / независ. рефлексов	3144 / 1806 (<i>R</i> _{int} = 0,0221)
Полнота сбора данных по θ = 36,34°	99,6 %
Метод уточнения	Полноматричный МНК по F^2
Число рефлексов / огранич. / параметров	1806 / 0 / 55
<i>S</i> -фактор по F^2	0,402
<i>R</i> -фактор по $I > 2\sigma(I)$	$R_1 = 0,0229$, $wR_2 = 0,0538$
<i>R</i> -фактор (все данные)	$R_1 = 0,0262$, $wR_2 = 0,0574$
Параметр абсолютности структуры	0,954(8)
Max и min остаточной эл. плотности, е/Å ³	1,179 и -1,571

Таблица 3

Координаты атомов и эквивалентные тепловые параметры (\AA^2) для лафитита

Атом	<i>x</i>	<i>y</i>	<i>z</i>	ФЗП	$U_{\text{экв}}^*$	Атом	<i>x</i>	<i>y</i>	<i>z</i>	ФЗП	$U_{\text{экв}}^*$
Ag	0,2500	0,02131(6)	0,0000	1,0	0,0300(2)	S(1)	0,4217(3)	0,0089(1)	0,4328(3)	1,0	0,0153(3)
Hg	0,7897(1)	0,31679(3)	0,0313(1)	1,0	0,0268(1)	S(2)	0,9846(3)	0,2857(1)	0,4703(3)	1,0	0,0144(2)
As	0,2871(2)	0,35167(5)	0,0218(1)	0,929(7)	0,0137(2)	S(3)	0,4377(3)	0,3711(1)	0,3964(3)	1,0	0,0157(3)
Sb	0,2871(2)	0,35167(5)	0,0218(2)	0,071(7)	0,0137(2)						

$$U_{\text{экв}}^* = 1/3(U_{11} + U_{22} + U_{33}).$$

сульфосолей [2]. Ближайшее окружение атома As составляют три атома S, расстояния As—S лежат в интервале 2,268(2)–2,310(2) \AA , следующие атомы S находятся на расстояниях 3,074–3,534 \AA . Координационное окружение атома Ag (3+1) составляют три атома S на расстояниях 2,520(2)–2,615(2) \AA и один атом S на расстоянии 2,906(2) \AA . Атом Hg имеет искаженно-тетраэдрическое окружение из атомов S, расстояния Hg—S равны 2,440(2)–2,746(2) \AA . Атомы Hg, Ag, As и S образуют шестичленные неплоские кольца состава AgHgAsS_3 , связанные ребрами с образованием слоев вдоль (100). Структура лафитита близка к структурному типу PbS. Координаты базисных атомов и межатомные расстояния в структуре Sb-содержащего лафитита (данная работа) и в [2] различаются незначительно. Некоторое увеличение расстояний (As,Sb)—S (см. табл. 4) связано с присутствием в позиции As^{3+} около 10 % более крупного катиона Sb^{3+} .

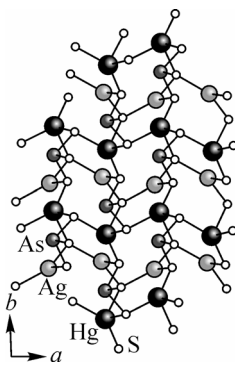


Рис. 1. Фрагмент структуры лафитита

Существующее в литературе разногласие в определении параметров элементарной ячейки лафитита объясняется разным выбором координатных осей. На рис. 2 даны три проекции моноклинной ячейки в установке Aa [2]. Показана связь с параметрами установки [1] (псевдоромбическая ячейка (a_p, b_p, c_p)), а также возможный выбор псевдогексагональной ячейки с матрицей перехода / 0 1/2 1/2 / 0 -1/2 1/2 / 2 0 1 / и параметрами $a_F = b_F = 6,574$, $c_F = 14,04 \text{\AA}$, $\gamma = 119,1^\circ$. На проекциях показаны также трансляции псевдокубической F -подъячейки, установленные в [2] — a_F, b_F, c_F .

Таблица 4

Основные межатомные расстояния d (\AA) и углы ω (град.) для лафитита

Связь	d	Связь	d	Угол	ω	Угол	ω
Ag—S(3)#1	2,520(2)	Hg—S(2)	2,683(2)	S(3)#1—Ag—S(3)#2	148,02(8)	S(2)#2—Hg—S(2)	99,77(5)
Ag—S(3)#2	2,531(2)	Hg—S(3)#3	2,746(2)	S(3)#1—Ag—S(1)	100,59(6)	S(1)#3—Hg—S(3)#3	104,97(5)
Ag—S(1)	2,615(2)	As—S(1)#4	2,268(2)	S(3)#2—Ag—S(1)	107,75(6)	S(2)#2—Hg—S(3)#3	94,87(5)
Ag—S(2)#2	2,906(2)	As—S(3)	2,272(2)	S(3)#1—Ag—S(2)#2	92,21(5)	S(2)—Hg—S(3)#3	97,78(5)
Hg—S(1)#3	2,440(2)	As—S(2)#2	2,310(2)	S(3)#2—Ag—S(2)#2	99,96(5)	S(1)#4—As—S(3)	97,64(7)
Hg—S(2)#2	2,509(2)			S(1)—Ag—S(2)#2	94,39(5)	S(1)#4—As—S(2)#2	94,72(7)
				S(1)#3—Hg—S(2)#2	143,70(6)	S(3)—As—S(2)#2	99,55(8)
				S(1)#3—Hg—S(2)	107,10(6)		

Операторы симметрии, используемые для генерации эквивалентных атомов: #1 $x, y-1/2, z-1/2$, #2 $x-1/2, -y+1/2, z-1/2$, #3 $x+1/2, -y+1/2, z-1/2$, #4 $x, y+1/2, z-1/2$.

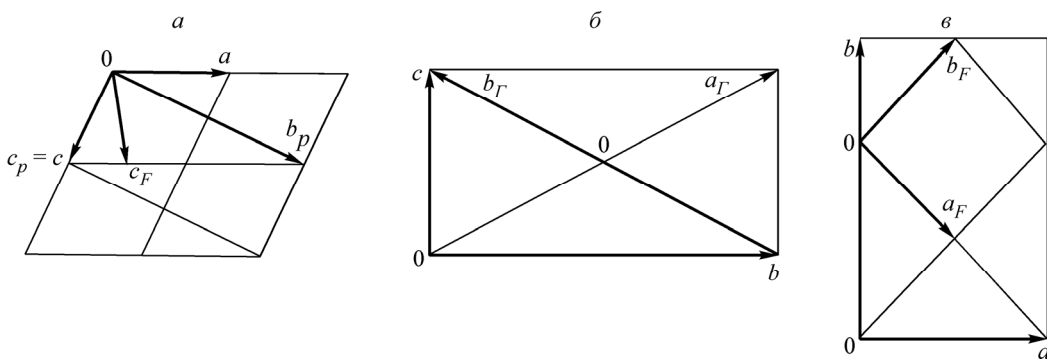


Рис. 2. Соотношения параметров псевдоромбической (p , [1]), псевдогексагональной (Γ) и кубической (F) F -подъячейки [2] на трех проекциях моноклинной элементарной ячейки лаффитита (a, b, c)

Следует отметить, что при переходе от ячейки в пространственной группе Aa к псевдоромбической должна получиться гранецентрированная F -ячейка, а не ячейка B , как это указано в [1] и затем продублировано в работе [3]. В связи с этим часть отражений порошкограмм в [1, 3] проиндицирована неверно. Еще одно следствие наличия кубической F -подъячейки — псевдопериод $b' = b/3$, поскольку период b представляет собой $1\frac{1}{2}$ диагонали грани этой F -подъячейки.

Для разрешения очевидного противоречия в описании структуры в [2] — сверхструктура типа PbS , где в идеале и катионы, и анионы должны быть в октаэдрическом взаимном окружении — а в действительности эти окружения максимум тетраэдрические [7], была исследована геометрия катионных и анионных матриц методом КАП-ПЛАТС [8].

В табл. 5 даны относительные (нормированные на единицу) плотности заполнения атомами для наиболее заселенных кристаллографических плоскостей ρ , их фазы ϕ и индексы в псевдотрансляционной F -кубической подъячейке — $h_F k_F l_F$. Анализ таблицы и расположения атомов показывает, что все характерные для F -подъячейки плоскости $\{111\}$ весьма близки по плотности к единице и по геометрии — к идеальным сеткам 3^6 как в катионной, так и в анионной матрицах (рис. 3, a, b). Однако относительное смещение катионной и анионной матриц заметно отличается от идеального сдвига их плоскостей $\{111\}$ на половину d_{111} (или по фазе на 180°). Это можно видеть на плоскости $(\bar{2}31)$, представляющей плоскость (200) F -подъячейки, где катионные и анионные сетки 4^4 должны центрировать друг друга (рис. 4). При некоторой вариации отклонений атомов серы от узлов усредненной сетки явно видно смещение их к одной из сторон квадратов сетки катионов.

Таблица 5

Относительная плотность заполнения атомами (ρ), фазы (ϕ) и индексы в F -подрешетке ($h_F k_F l_F$) для наиболее плотно упакованных семейств кристаллографических плоскостей структуры лаффитита

hkl	d_{hkl}	Только катионы		Только анионы		Все атомы		$h_F k_F l_F$
		ρ_k	ϕ_k , град.	ρ_a	ϕ_a , град.	ρ	ϕ , град.	
200	3,508	0,97	198	0,94	322	—	—	111
031	3,201	0,93	6	0,78	155	—	—	$\bar{1}11$
002	3,014	0,99	12	0,93	311	0,83	343	002
$\bar{2}02$	3,006	1,00	174	0,96	349	—	—	$11\bar{1}$
$\bar{2}31$	2,687	0,93	167	0,77	195	0,82	180	200
231	2,136	0,89	205	0,71	113	0,56	166	022
202	1,918	0,93	211	0,79	272	0,74	239	113
$\bar{4}02$	1,911	0,96	335	0,89	26	0,84	360	220
$\bar{2}33$	1,897	0,94	180	0,73	146	0,80	165	$\bar{2}02$

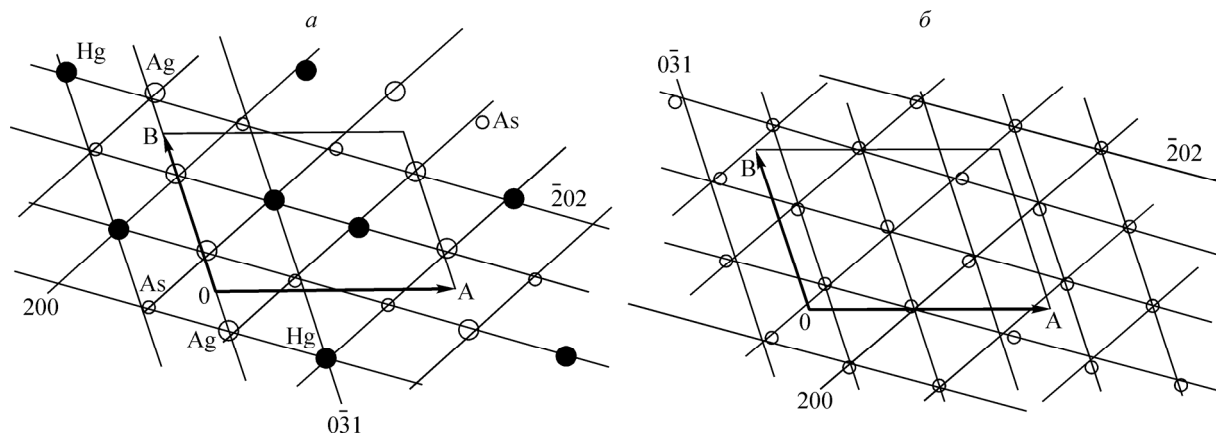


Рис. 3. а) катионная сетка 3^6 в плоскости (031) структуры лаффитита (соответствует плоскости $\{111\}_K$ -подъячейки) и следы ее пересечений с плоскостями (200), ($\bar{2}$ 02) и (0 $\bar{3}$ 1): $A = \mathbf{a} - 1/2\mathbf{b} - 3/2\mathbf{c} = 11,23 \text{ \AA}$; $B = -\mathbf{a} = 7,756 \text{ \AA}$; $\gamma' = 108,13^\circ$; б) анионная сетка 3^6 в плоскости (031) лаффитита (соответствует $\{111\}_K$ -анионной подъячейки) и следы ее пересечений с плоскостями (200), ($\bar{2}$ 02) и (0 $\bar{3}$ 1): $A = \mathbf{a} - 1/2\mathbf{b} - 3/2\mathbf{c} = 11,23 \text{ \AA}$; $B = -\mathbf{a} = 7,756 \text{ \AA}$; $\gamma' = 108,13^\circ$

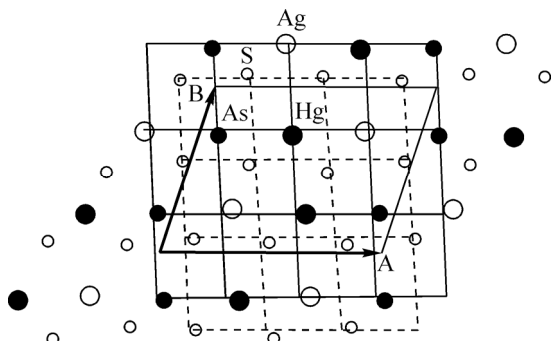


Рис. 4. Катионные (сплошные линии) и анионные (пунктир) сетки 4^4 в плоскости ($\bar{2}$ 31) лаффитита; в идеальной структуре типа PbS они должны центрировать друг друга: $A = -1/2\mathbf{b} + 3/2\mathbf{c} = 11,492 \text{ \AA}$; $B = -\mathbf{a} - 1/2\mathbf{b} - 1/2\mathbf{c} = 9,019 \text{ \AA}$; $\gamma' = 72^\circ$

искажению геометрии высокосимметричного структурного типа PbS: анионы, находясь в пределах объемов катионных октаэдров, существенно смешены из их центров, в основном, скординировано как единая анионная подрешетка.

Работа поддержана Российским фондом фундаментальных исследований, грант №08-05-00087.

СПИСОК ЛИТЕРАТУРЫ

1. Johan Z., Mantienne J., Picot P. // Bull. Soc. Mineral. Cristallogr. – 1974. – **97**. – P. 48 – 53.
2. Nakai I., Appleman D.E. // Amer. Mineral. – 1983. – **68**. – P. 235 – 244.
3. Степанов В.И., Волгин В.Ю., Чистякова Н.И. // Докл. АН СССР. – 1986. – **288**. – С. 703 – 706.
4. Bruker AXS Inc. (2004). APEX2 (Version 1.08), SAINT (Version 7.03), and SADABS (Version 2.11). Bruker Advanced X-ray Solutions, Madison, Wisconsin, USA.
5. Burla M.C., Caliandro R., Camalli M. et al. // J. Appl. Crystallogr. – 2005. – **38**. – P. 381 – 388.
6. Sheldrick G.M. SHELXS97 and SHELXL97. Programs for the Refinement of Crystal Structures. – University of Göttingen, Germany. 1998.
7. Борисов С.В., Магарил С.А., Первухина Н.В. // Журн. структур. химии. – 2009. – **50**, № 5. – С. 890 – 897.
8. Близнюк Н.А., Борисов С.В. // Там же. – 1992. – **33**, № 2. – С. 145 – 165.